## 既設ホーム RC 片持ちスラブを模した実物大供試体による載荷実験

ジェイアール西日本コンサルタンツ(株) 正会員 ○福田 圭祐 ジェイアール西日本コンサルタンツ(株) 正会員 濱田 譲 西日本旅客鉄道(株) 正会員 岸本 坂岡 和寛 近畿大学 一蔵

1. はじめに: 近年、駅ホーム上からの転落の防止対策として、可 動式ホーム柵の整備が進められている。既設ホームの片持ちスラブ へ可動式ホーム柵を設置するにあたり、ホーム柵自重による鉛直荷 重やホーム柵への旅客推力に起因する集中曲げモーメントなどを 設計作用として、既設片持ちスラブの安全性検討を行う。片持ちス ラブに対する鉛直荷重は、載荷点から 45°の範囲に分布すると考え る<sup>1)</sup>。一方、片持ちスラブに集中曲げモーメントが作用した場合の 分布域は明らかにされていない。

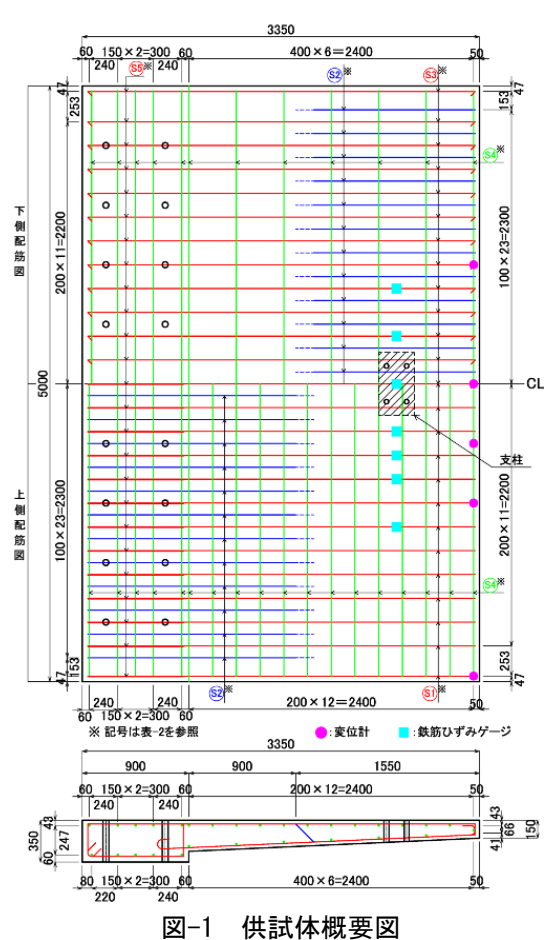
そこで、RC 片持ちスラブに対する集中曲げモーメントの分布幅 の検討に向けた基礎資料を得ることを目的に、既設ホームの片持ち スラブを模した実物大供試体を作製し、可動式ホーム柵を想定した 支柱を設置して、これに対し旅客推力を模した水平力を作用させる 載荷実験を行った。本稿では、載荷実験から得られた結果について 報告する。

2. 実験概要:供試体の概要および配筋状況を図-1 に示す.供試 体は, 可動式ホーム柵の設置を計画している既設ホームの片持ちス ラブを模し、張出し長さ 2450mm, スラブ厚 150mm(スラブ先端) ~260mm(スラブ固定端)、幅(線路方向長さ)5000mm とした. コン クリートおよび鉄筋の力学特性を表-1,2にそれぞれ示す.

載荷装置概略図を図-2 に示す。設計上の旅客推力作用を再現す るために、支柱のスラブ天端から高さ 1200mm の位置に PC 鋼棒を

固定し、反力壁に設置した油圧ジャッキを用い て PC 鋼棒を緊張し、支柱に水平力を漸増載荷 させた。なお、片持ちスラブの安全性検討にお いて、可動式ホーム柵への旅客推力は、指針2) を参考に 250kg/m の水平力が考慮されること が多い。設置予定の可動式ホーム柵の支柱間隔 をもとに、上記の旅客推力を作用させた場合、 支柱 1 本あたり 22.2kN の設計水平荷重が作用 する。この設計荷重値を載荷試験における基準 値とした。

載荷試験時の測定項目は、水平力載荷用 PC 鋼棒の緊張力 (ロードセル)、スラブの鉛直変 位(図-1参照)、鉄筋ひずみ(図-1参照)とし た。



## 表-1 コンクリートの力学特性

圧縮強度fc (N/mm²)	33.1
弹性係数 Ec (kN/mm²)	28.8
引張強度 ft (N/mm²)	2.73

表-2 鉄筋の力学特性

;	種別	径	降伏強度 σ <sub>y</sub> (N/mm²)
S1	主筋	D13	348
S2		D16	348
S3		D13	373
S5		D13	373
S4	配力筋	D13	353

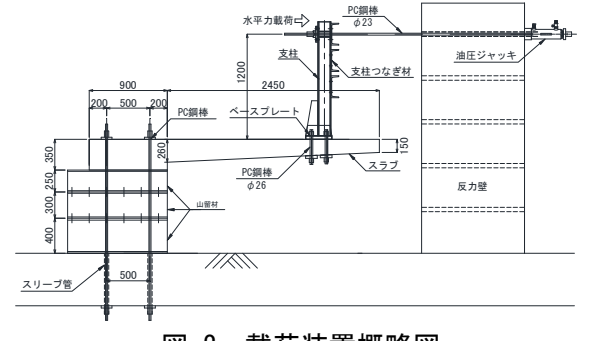
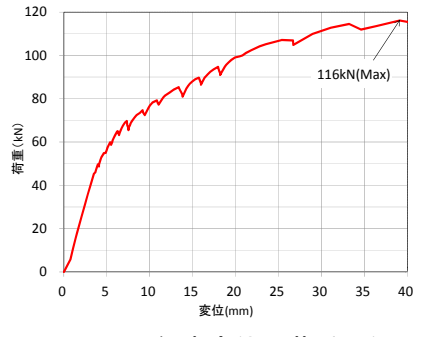
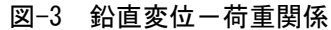


図-2 載荷装置概略図

キーワード 可動式ホーム柵, 片持ちスラブ, 旅客推力, 載荷試験 連絡先 〒532-0011 大阪市淀川区西中島 5-4-20 中央ビル 8F ジェイアール西日本コンサルタンツ(株) 3. 実験結果:水平荷重とスラブ先端の中央部(CL)における鉛直変位の関係を図-3に示す。荷重 45kN 付近までは荷重と変位の関係は線形関係であり、その後荷重の増加に伴い、剛性が低下している。なお、最大荷重は116kNであり、設計荷重の5倍以上であった。また、スラブ先端における鉛直変位の分布を図-4に示す。荷重の増加に伴い、後述するようにひび割れが発生し、中央部の鉛直変位が大きく増加している。

スラブ上面のひび割れ発生状況を図-5に示す。設計荷重時には、ひび割れは発生しておらず、荷重45kN付近で支柱周辺に線路方向のひび割れが発生している。その後、荷重65kN付近まで達すると、ひび割れがスラブ先端側へ向かって斜め方向に進展している。そして、荷重





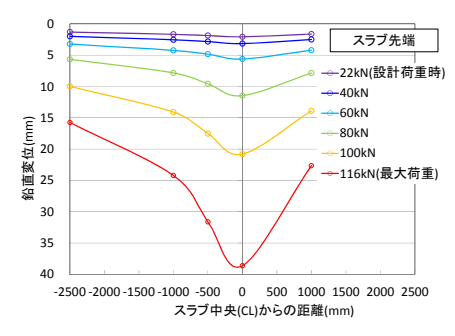


図-4 鉛直変位の分布

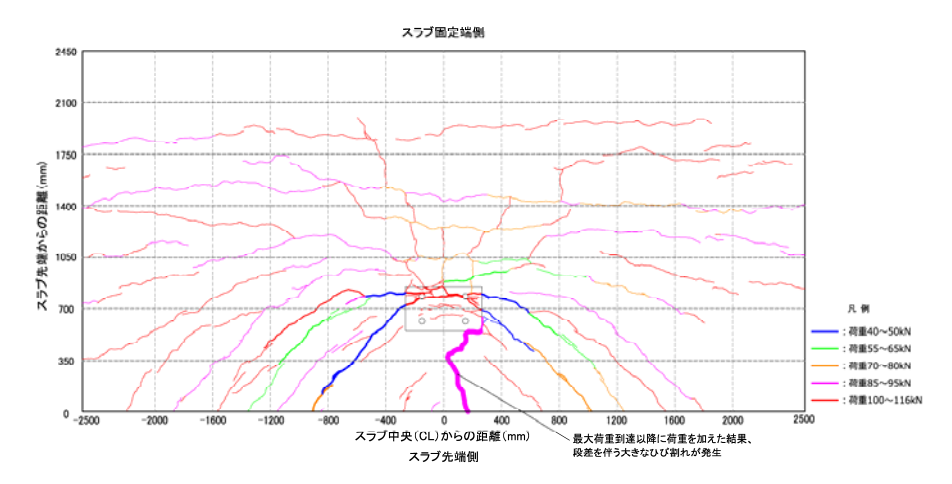


図-5 スラブ上面のひび割れ発生状況

90kN 付近に達すると支柱とスラブ先端を結ぶような斜め方向のひび 割れおよび支柱固定端側の領域に線路方向のひび割れが多く発生して いる。また、最大荷重到達後、測定を終了し、供試体の一部が破壊す るまで荷重を加えた。破壊状況は**写真-2**に示すように、支柱からスラ ブ先端に向かって段差を伴う大きなひび割れが発生した。

支柱位置(スラブ先端から 700mm)の上側主筋のひずみ分布を図-6 に示す。ひび割れを生じていないため、設計荷重時に生じているひずみは小さい。その後、荷重の増加に伴い、ひび割れが発生し、支柱周辺のひずみが増加する傾向がみられる。そして、荷重 100kN 付近に達すると支柱周辺の上側主筋が降伏し、最大荷重時には降伏している領域が広がり、中央から両側 800mm の範囲で上側主筋が降伏している。

- **4. まとめ**: 既設ホームの片持ちスラブを模した実物大供試体を作製し、旅客推力を模した水平力を作用させる載荷実験を行った。載荷実験より、得られた結果を以下にまとめる。
- ・スラブ上面には線路方向のひび割れおよび支柱周囲とスラブ先端 を結ぶような斜め方向のひび割れが多く発生した。
- ・ひび割れの発生に伴い、支柱周囲の主筋のひずみが増加し、最大荷 重時には中央から両側 800mm の範囲で上側主筋が降伏していた。
- **5. おわりに**: 載荷実験を実施するにあたり、株式会社国際建設技術研究所に多大なご協力を賜りました。深く感謝の意を表します。

参考文献: 1)丸善:鉄道構造物等設計標準・同解説 コンクリート構造物,2004.4. 2)鉄道総合技術研究所:乗換跨線橋設計指針,1987,9.



写真-2 破壊状況

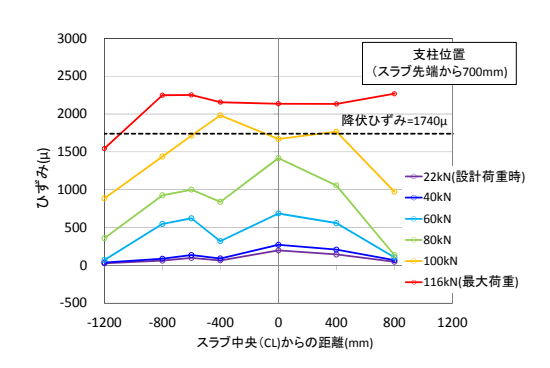


図-6 上側主筋のひずみ分布